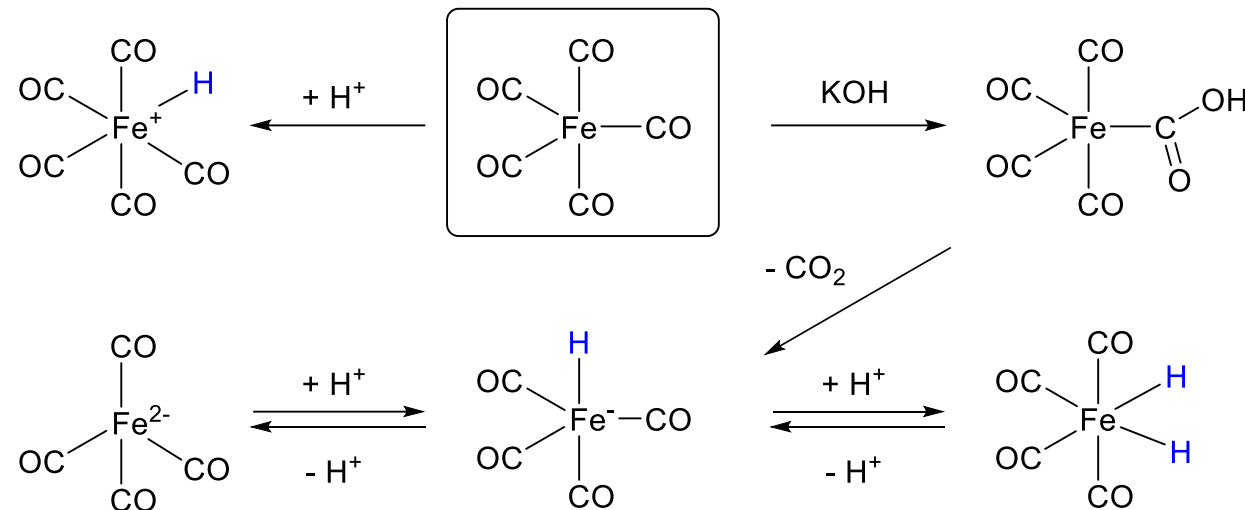


# ヒドリド錯体

The first example : cis- $\text{FeH}_2(\text{CO})_4$



Walter Hieber (1931)

・ヒドリド：

・M-H結合解離エネルギー 240 – 350 kJ/mol程度

・赤外吸収：1800 – 2100  $\text{cm}^{-1}$

M-Hの極性；

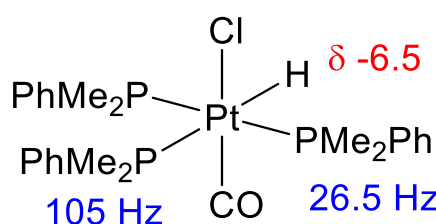
強度  $\text{IrH}_5(\text{PMe}_3)_2$  (強),  $\text{CoH}\{\text{P}(\text{OPh})_3\}_4$  (弱)

架橋ヒドリド (M-H-M) : 1000-1550  $\text{cm}^{-1}$

・ $^1\text{H NMR}$  :  $\delta$  -3 ~ -25 ppm

リンとのカップリング

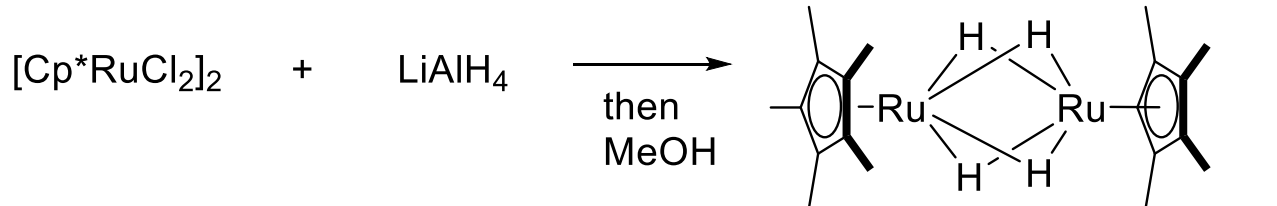
トランス位 > シス位



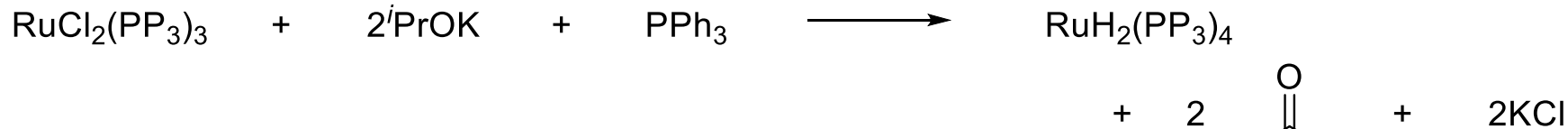
Hydride	$\delta$ , ppm	Hydride	$\delta$ , ppm
$\text{H}_2\text{ZrCp}_2^*$	7.46	$\text{HReCp}_2$	-12.8
$\text{H}_3\text{NbCp}_2$	12.6, 13.5	$[\text{HFeCp}_2]^+$	-2.1
$\text{H}_3\text{TaCp}_2$	-1.65, -3.02	$[\text{HRuCp}_2]^+$	-7.2
$\text{H}_2\text{MoCp}_2$	-8.76	$\text{HMn}(\text{CO})_5$	-7.5
$\text{H}_2\text{WCp}_2$	-12.28	$\text{HRe}(\text{CO})_5$	-5.66
$[\text{H}_3\text{WCp}_2]^+$	-6.08, -6.44	$\text{H}_2\text{Fe}(\text{CO})_4$	-11.1
		$\text{H}_2\text{Ru}(\text{CO})_4$	-7.62
		$[\text{Ru}_6(\mu_6-\text{H})(\text{CO})_{18}]^-$	$\delta$ +16.4
		$\text{H}_2\text{Os}(\text{CO})_4$	-8.84

# ヒドリド錯体の合成

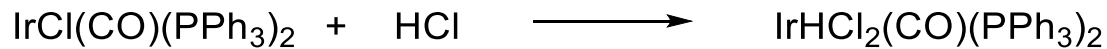
## 遷移金属ハロゲン化物とヒドリド試薬



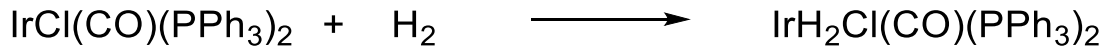
## 遷移金属ハロゲン化物とアルコキシド



## プロトン化



## 水素分子の酸化的付加



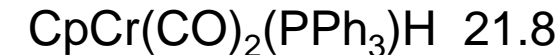
# ヒドリド錯体の酸性度

· pKa プロトン性 :  $M^{\delta-} - H^{\delta+}$

pKaが増大するパラメータ  
周期表を下に行く

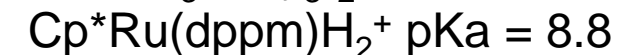
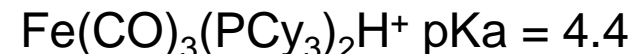
Complex	pKa in acetonitrile (water)
HCr(CO) <sub>3</sub> Cp	13.3
HMo(CO) <sub>3</sub> Cp	13.9
HW(CO) <sub>3</sub> Cp	16.1
HMn(CO) <sub>5</sub>	15.1 (7.1)
HRe(CO) <sub>5</sub>	21.0
H <sub>2</sub> Fe(CO) <sub>4</sub>	11.4 (4.0)
H <sub>2</sub> Ru(CO) <sub>4</sub>	18.7
H <sub>2</sub> Os(CO) <sub>4</sub>	20.8
HCo(CO) <sub>4</sub>	8.4 (strong)
HCo(CO) <sub>3</sub> (PPh <sub>3</sub> )	15.4 (6.96)

電子供与性置換基を導入



カチオン性ヒドリド錯体

強酸性



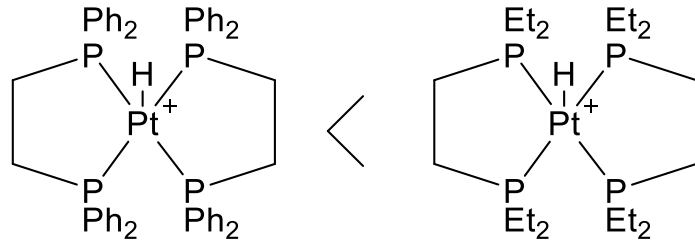
(HClに匹敵)

強塩基との反応…脱プロトン化が進行



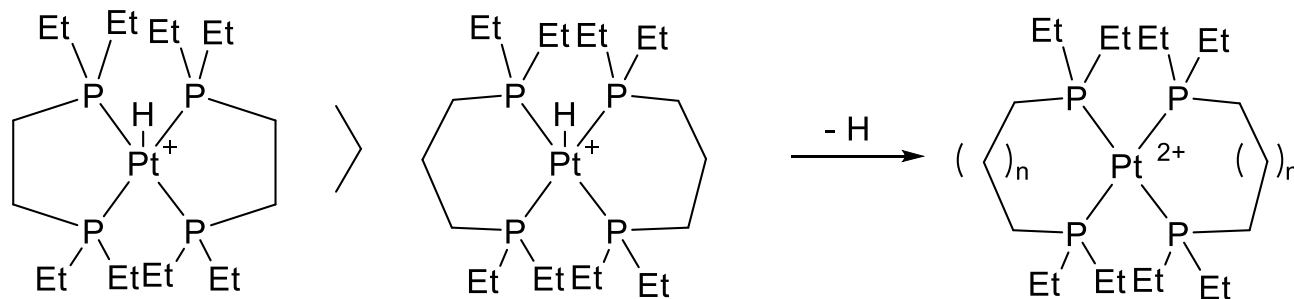
# ヒドリド性 : $M^{\delta+} - H^{\delta-}$

配位子の電子供与性が上がると、ヒドリド性増加

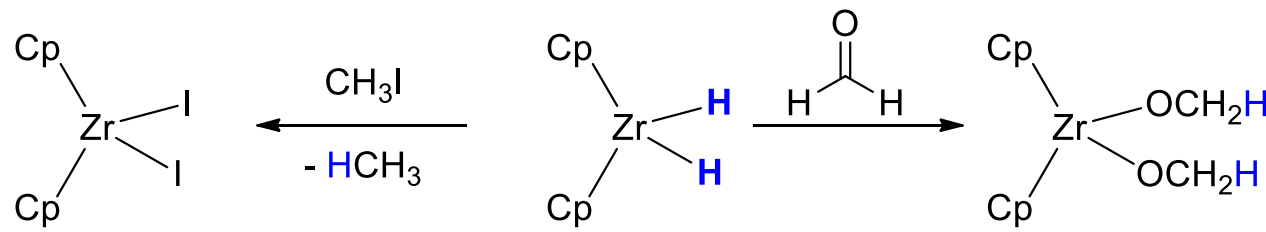


生成物の16電子錯体の安定性に起因  
環が大きいと、安定な平面構造から  
四面体構造にひずむため

環サイズ

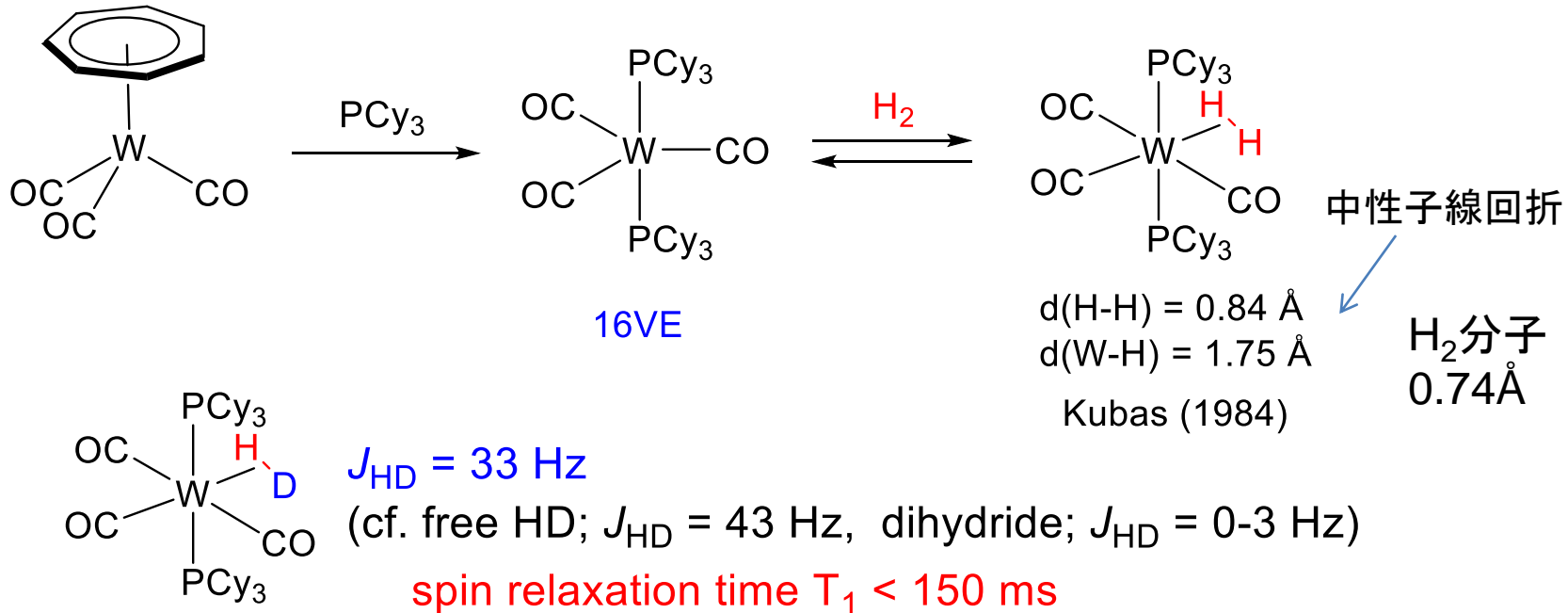


$Cp^*_2ZrH_2$ の反応性

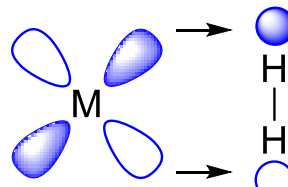
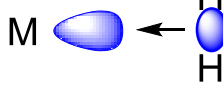
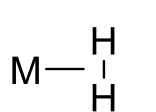


$\delta +7.46$

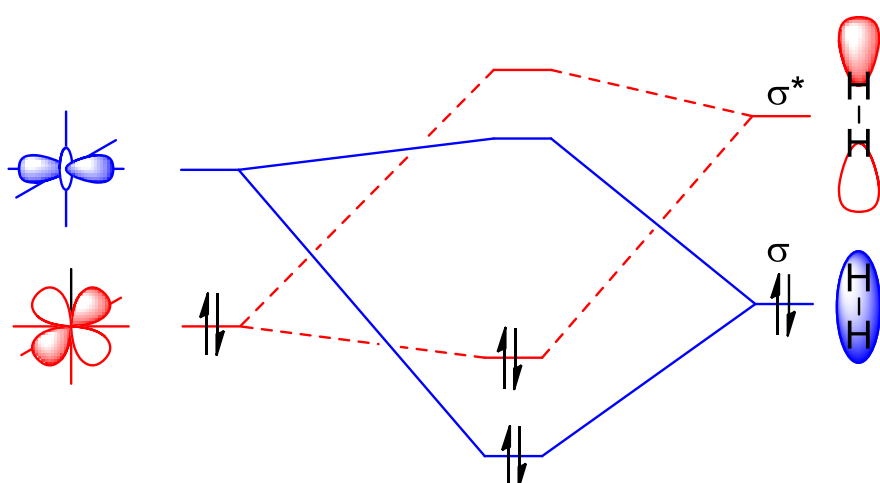
# 分子水素錯体



NMRの緩和時間  $T_1$  (Crabtree)  
 $T_1$  は H-H 間距離と相関。HH 距離の 6乗に比例



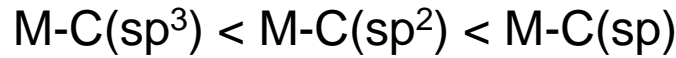
供与と逆供与のバランスにより、分子水素錯体が生成。  
 $\pi$ -酸性配位子、カチオン性錯体の場合、生成する傾向にある。



# アルキル

金属と共有結合形成(σ対称性軌道)

結合解離エネルギー 130 ~ 330 kJ/mol<sup>a)</sup>



電子吸引性置換基 ( $CF_3$ ) ...

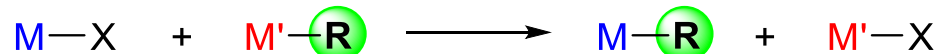
3d金属 < 4d金属 < 5d金属

アルキル、アリール錯体の安定性

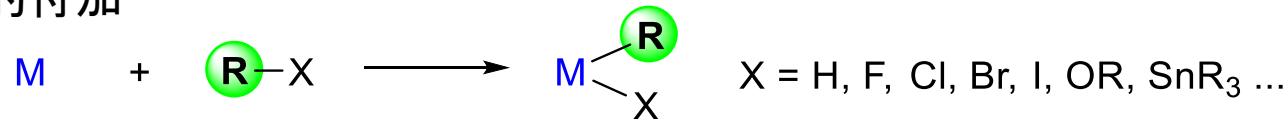
結合解離エネルギー + 還元的脱離、β-水素脱離などの反応にも影響

アルキル錯体の合成

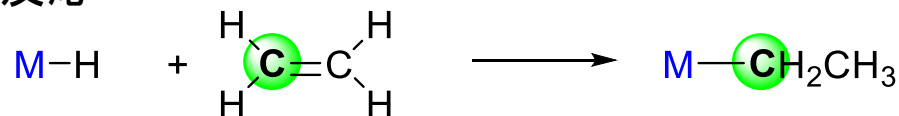
トランスメタル化



酸化的付加



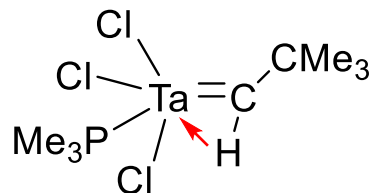
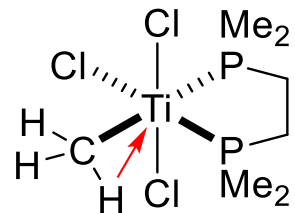
挿入反応



a) Transition metal-hydrogen and metal-carbon bond strengths: the keys to catalysis, J. A. M. Simoes, J. L. Beauchamp, *Chem. Rev.* **1990**, 90, 629.

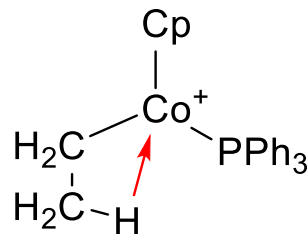
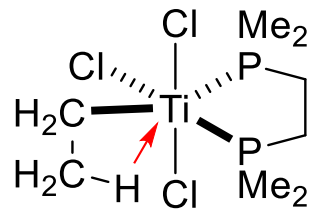
# アゴスティック(agnostic)相互作用

## αアゴスティック相互作用



Brookhart, Green  
“to hold or clasp to oneself”

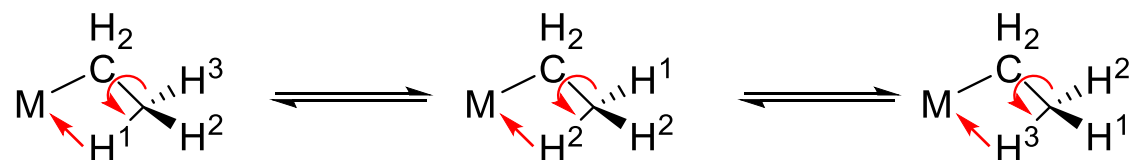
## βアゴスティック相互作用



金属-水素結合:  
ヒドリド錯体の  $\text{M}-\text{H}$  よりも 15~20% 程度長い  
金属-炭素結合:  $2\sim 3 \text{ \AA}$

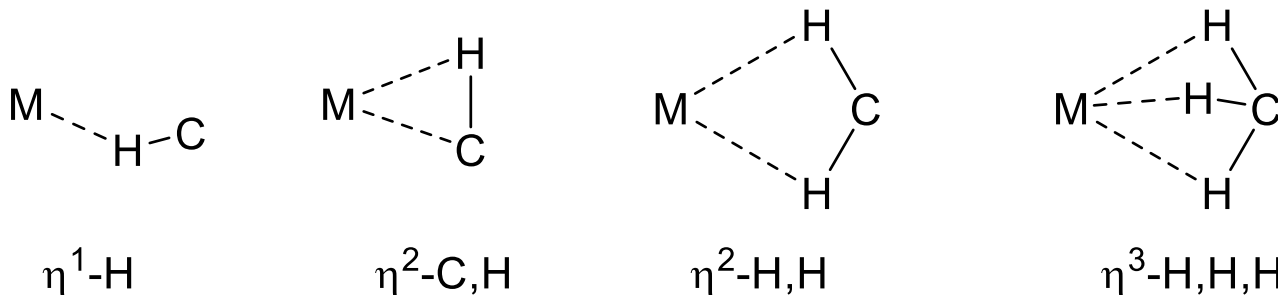
IRスペクトル: C-H伸縮振動  $2700\sim 2350 \text{ cm}^{-1}$  (低波数シフト)

$^1\text{H}$  NMR スペクトル:  $\delta 0\sim -15 \text{ ppm}$ ,  $^1J_{\text{CH}} = 75\sim 100 \text{ Hz}$  ( $\text{sp}^3$ : 120-130 Hz)

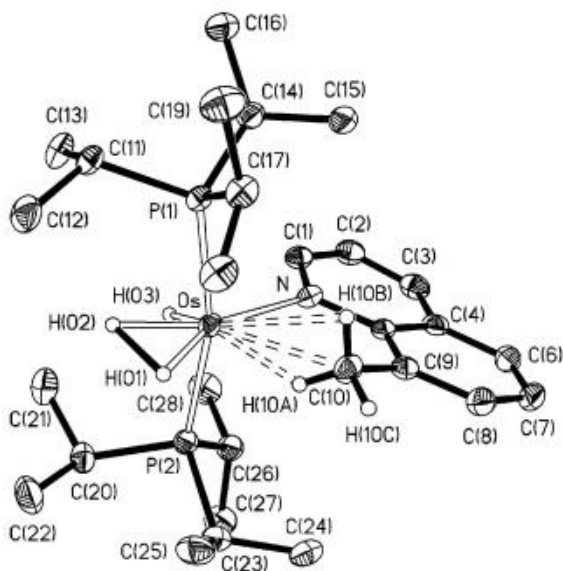


アゴスティック相互作用の結合エネルギーは水素結合と同程度  
…アルキル基の水素間で交換  $\rightarrow {^1J}_{\text{CH}}$  は平均値となる

# アゴスティック相互作用

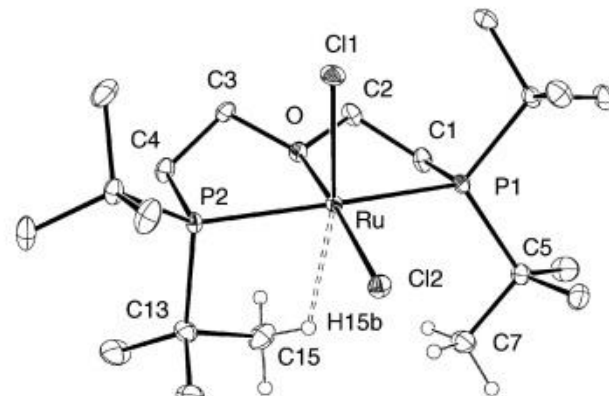


## C-H結合の分子内相互作用



**Figure 7.** Molecular structure of the cation of **6** (ellipsoids are drawn at 50% probability). Selected bond lengths ( $\text{\AA}$ ) and angles (deg): Os–P(1) 2.3711(10), Os–P(2) 2.3562(10), Os–N 2.175(3), Os…C(10) 2.673(4), Os…H(10A) 2.01(4), Os…H(10B) 2.75(4), H(01)–H(02) 1.39(4), H(02)–H(03) 1.89(4); P(1)–Os–P(2) 165.63(3), P(1)–Os–N 98.12(8), P(2)–Os–N 93.64(8).

D. G. Gusev, *Organometallics* 2005, 24, 2492.



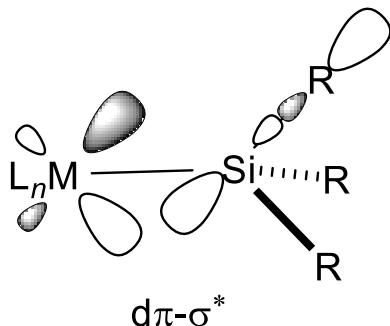
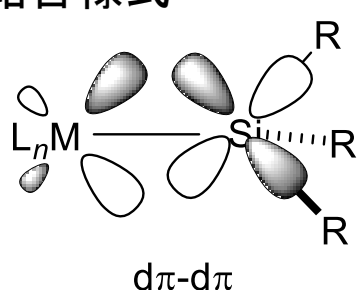
**Figure 1.** ORTEP and atom-labeling scheme for **1** with the ellipsoids at 30%. Most of the hydrogen atoms are omitted for clarity. Selected bond distances ( $\text{\AA}$ ) and angles (deg): Ru–Cl1 2.3505(8), Ru–Cl2 2.3901(7), Ru–O 2.123(2), Ru…H15b 2.23, P1–Ru–P2 161.1(1), P1–Ru–O 82.0(1), P2–Ru–O 80.7(1), Cl1–Ru–Cl2 93.0(1), Cl1–Ru–P1 95.2(1), Cl1–Ru–P2 93.7(1), Cl1–Ru–O 93.6(1), Cl2–Ru–P2 98.7(1), Cl2–Ru–P1 97.5(1), Cl2–Ru–O 173.5(1).

A. Lledós, *Organometallics* 2007, 26, 5140

# シリル錯体

シリル錯体  $M\text{-SiR}_3$

結合様式



後期遷移金属錯体

実測値は、計算値(共有結合半径)よりも短い  
Si-R反結合性軌道への金属からの逆供与

前期遷移金属

実測値は計算値よりも長い傾向  
 $d^0$ の場合、 $\pi$ 型の相互作用は存在しない  
配位子とシリル基の立体反発

シリル基が遷移金属に及ぼす影響

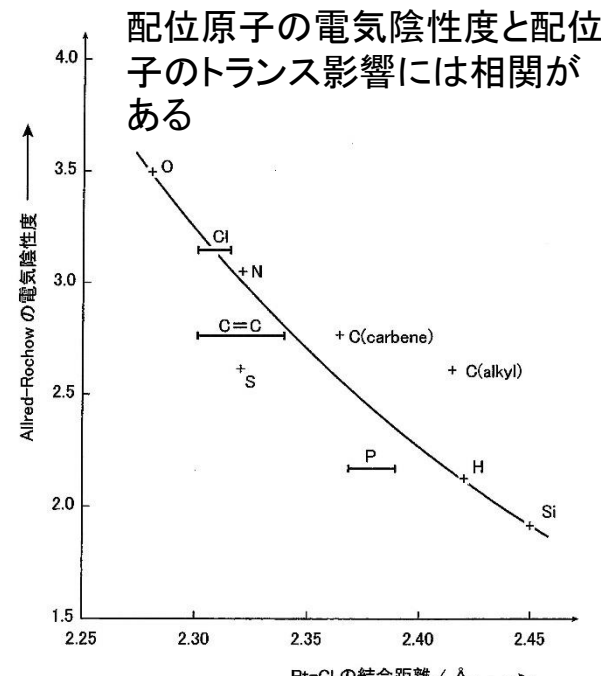
トランス影響 (トランス位の金属—配位子結合長に及ぼす影響)

シリル配位子 > アルキル、ヒドリド配位子

$\sigma$ 電子供与性とトランス影響には高い相関がある。

シリル配位子は高い電子供与性配位子として作用。

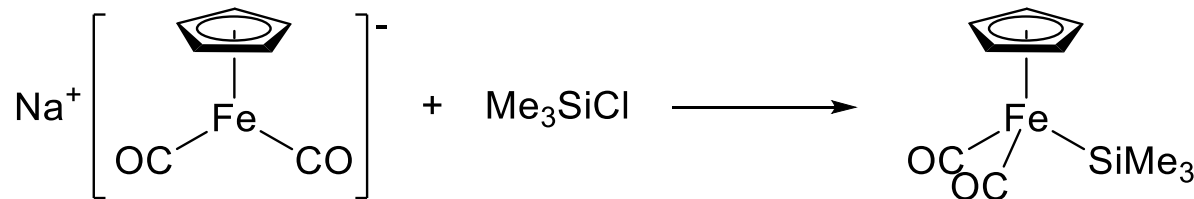
	M-Si (Å)	
	実測値	計算値
$\text{Mn}(\text{SiMe}_3)\text{CO}_5$	2.497(5)	2.63
$\text{CpFe}(\text{SiCl}_3)(\text{CO})_2$	2.252(3)	2.51
$\text{Co}(\text{SiF}_3)(\text{CO})_4$	2.226(5)	2.51
$\text{Co}(\text{SiCl}_3)(\text{CO})_4$	2.254(3)	2.51
$\text{Co}(\text{SiH}_3)(\text{CO})_4$	2.381(4)	2.51
$\text{RhHCl}(\text{SiCl}_3)(\text{PPh}_3)_2$	2.203(4)	2.48
$\text{Cp}_2\text{Zr}(\text{SiPh}_3)\text{Cl}$	2.813(2)	2.63
$\text{Cp}_2\text{Nb}(\text{SiMe}_3)(\eta^2\text{-C}_2\text{H}_4)$	2.669(1)	2.67
$\text{Cp}^*\text{Ta}(\text{SiMe}_3)\text{Cl}_3$	2.669(4)	2.47



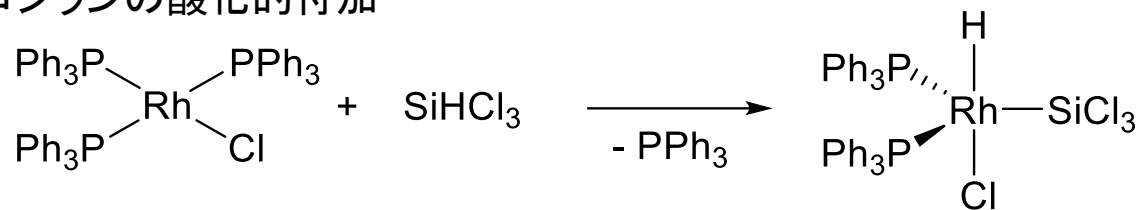
# シリル錯体

## 合成

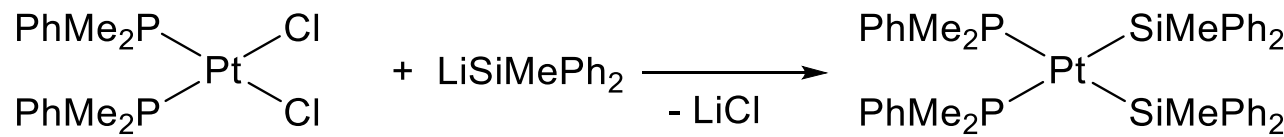
アニオン性錯体とクロロシラン



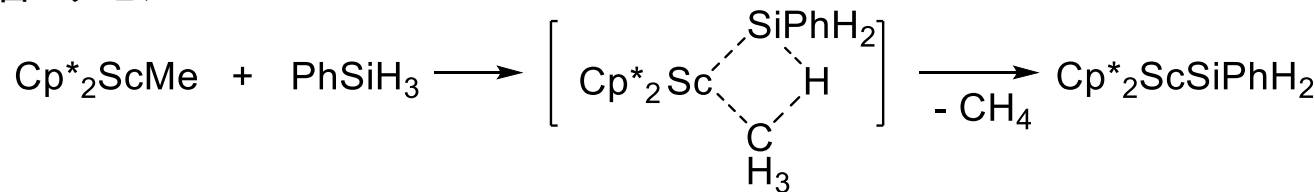
ヒドロシランの酸化的付加



シリルリチウムと金属ハライド

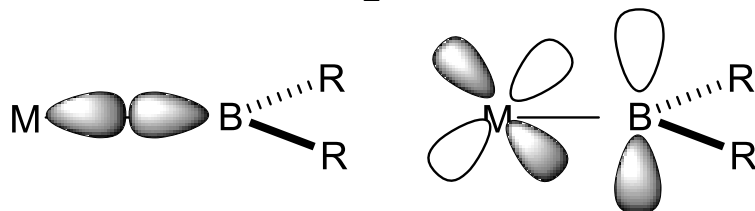


$\sigma$ -結合メタセシス



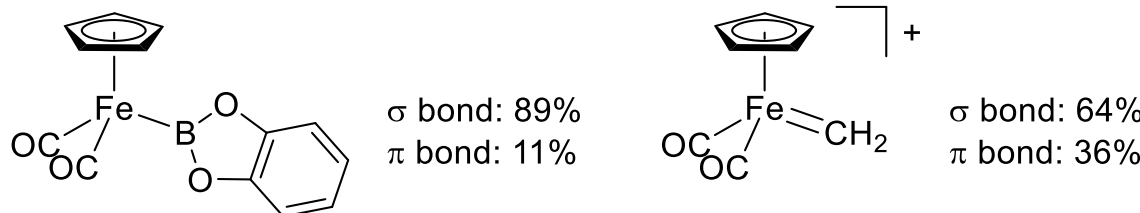
# ボリル錯体

## ボリル錯体 $M-Br_2$

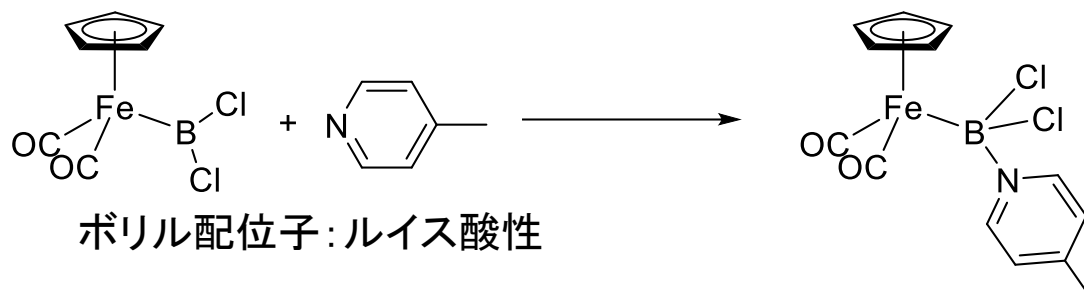


- ・金属一ホウ素σ結合
- ・ホウ素上の空のp軌道と金属のd軌道との間のπ結合  
(金属一ホウ素間の多重結合性)

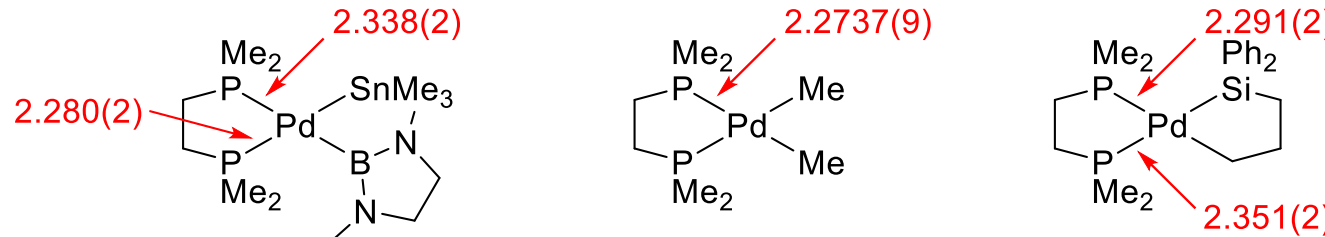
・π結合はカルベン錯体よりも弱い



カテコラートボリル基の回転障壁 約 1 kcal/mol : 弱いπ結合に由来



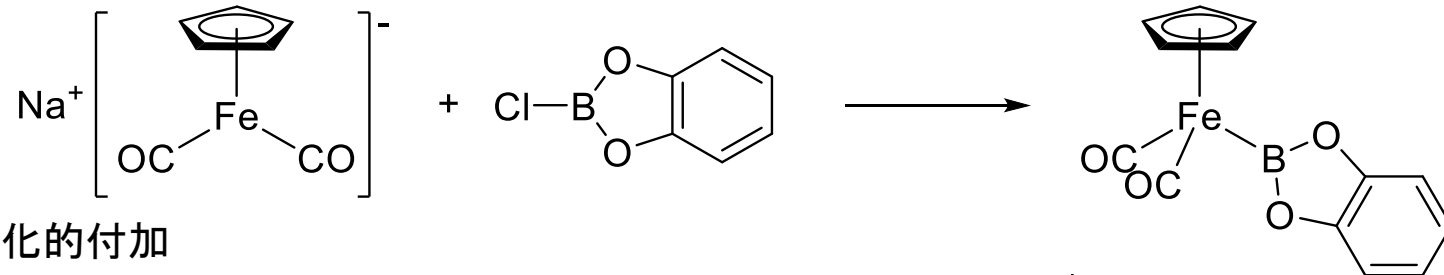
・強いσ供与性配位子(カルベン、アルキルよりも強い)



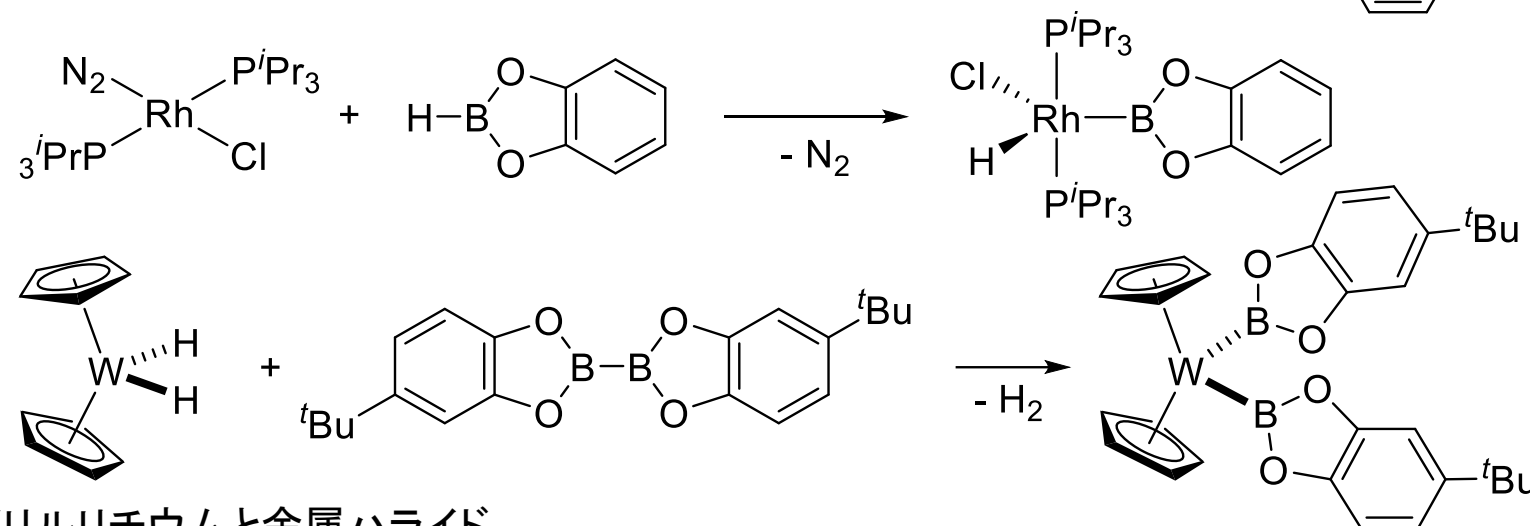
# ボリル錯体

## 合成

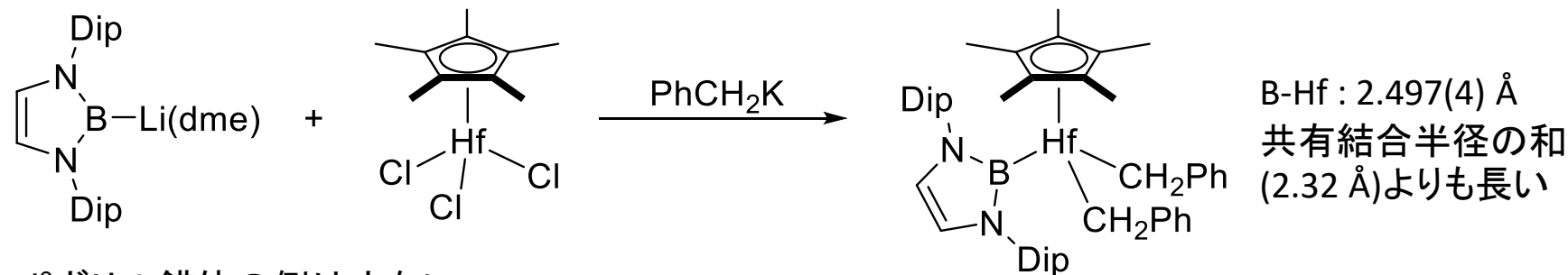
アニオン性錯体とハロボラン



酸化的付加



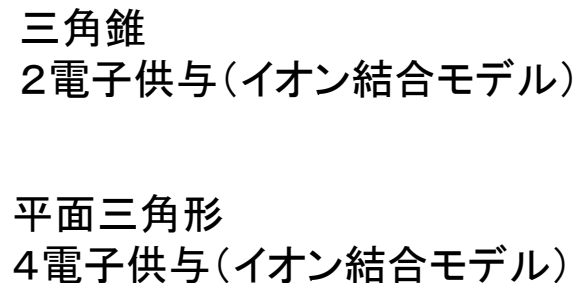
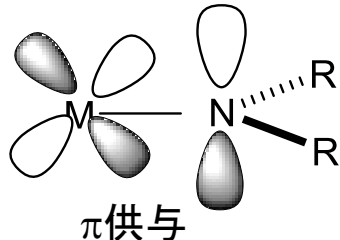
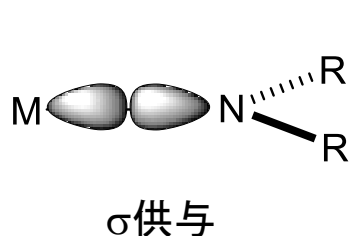
ボリルリチウムと金属ハライド



・d<sup>0</sup>ボリル錯体の例は少ない

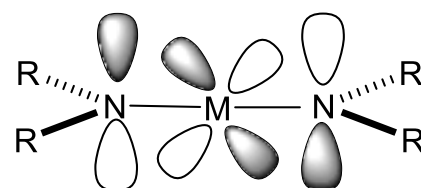
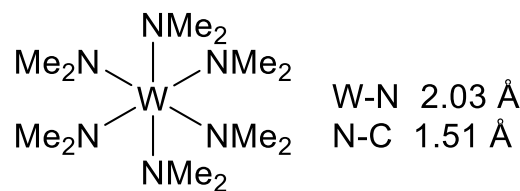
# アミド錯体

アミド錯体  $M-NR_2$



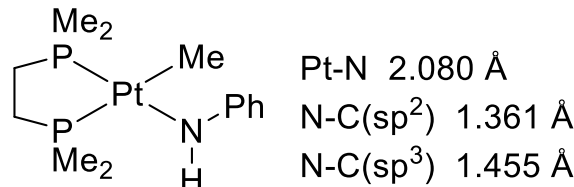
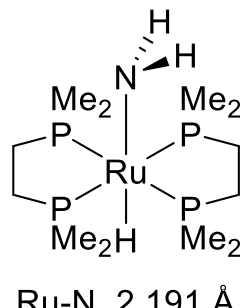
前期遷移金属

ハードな配位子とハードな金属の組み合わせ



後期遷移金属

ハードな配位子とソフトな金属の組み合わせ



18電子錯体…2電子供与配位子

16電子の平面四角形錯体  
3つのd $\pi$ 軌道がすべて満たされている  
金属-窒素環に $\pi$ 結合は形成しない  
…2電子供与配位子

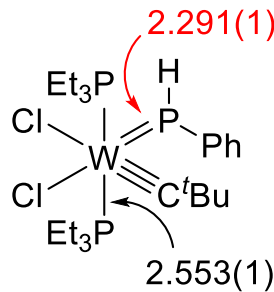
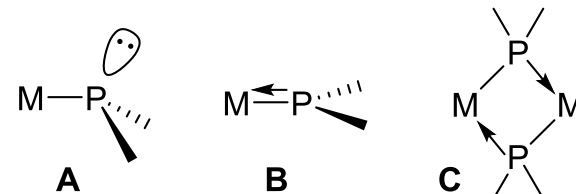
窒素は平面三角形 Ph基と共に鳴を形成

# ホスフィド錯体

## ホスフィド錯体 $M-PR_2$

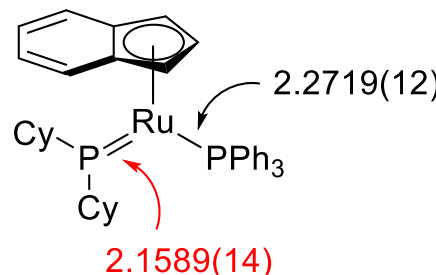
$\pi$ 結合性が弱い…三角錐構造をとる傾向にある

リンは窒素よりも $\pi$ 軌道同士の重なりが悪いため  
 Aの寄与  $M-P$ 結合は長く、 $M-P-R$ 結合角は小さい  
 Bの寄与  $M-P$ 結合は短く、 $M-P-R$ 結合角は大きい



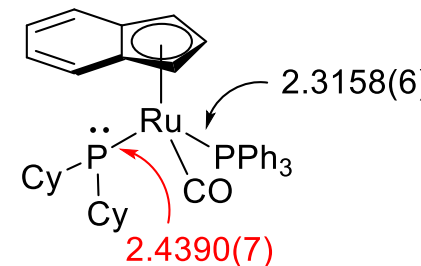
W-P-C 140°

organometallics 1982, 1, 1332



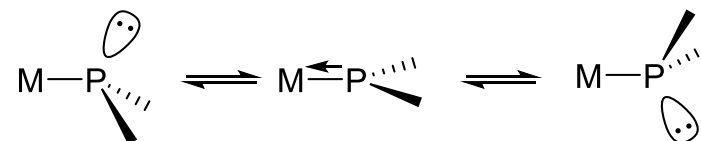
Ru-P-C 129.54(17)  
 Ru-P-C 125.44(17)  
 C-P-C 103.2(2)  
 358.2

organometallics 2007, 26, 1473

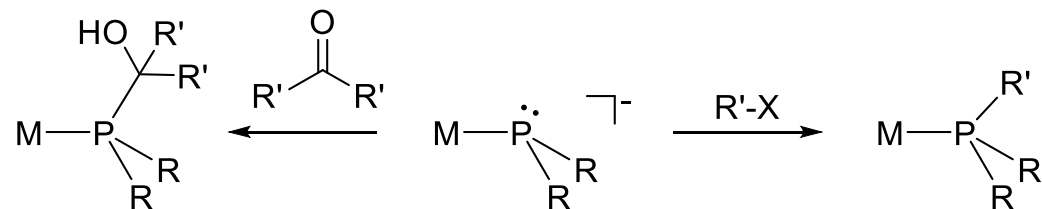


Ru-P-C 107.36(8)  
 Ru-P-C 107.88(8)  
 C-P-C 102.47(10)  
 317.7

反転障壁が低い 6~15 kcal/mol

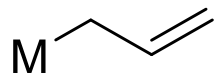


孤立電子対の求核性は高い

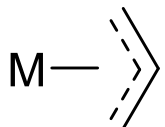


# アリル配位子

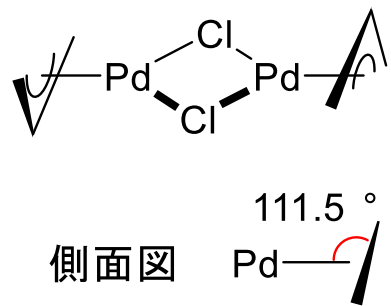
$\eta^1$ -allyl,  $\sigma$ -allyl



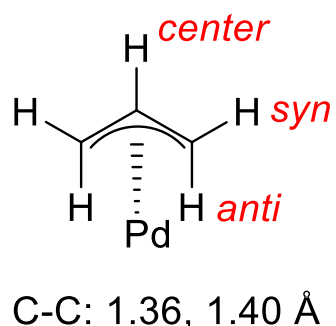
$\eta^3$ -allyl,  $\pi$ -allyl



$[\text{Pd}(\eta^3\text{-allyl})(\mu\text{-Cl})_2]$



側面図

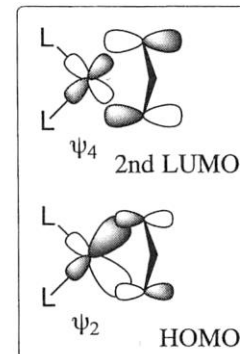
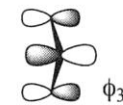
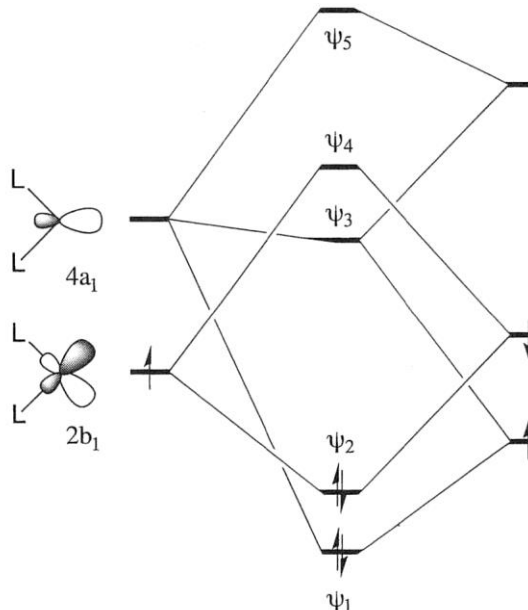


軌道相互作用

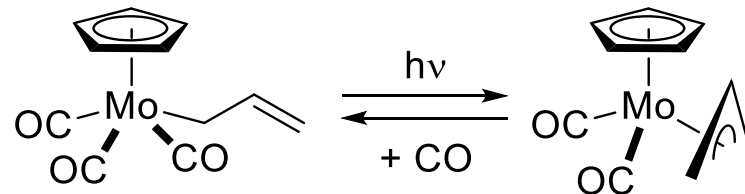
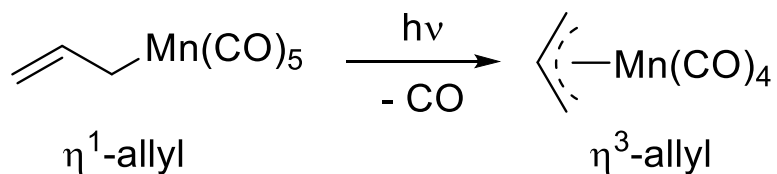
$[\text{PdL}_2]^+$

$[\text{Pd}(\eta^3\text{-allyl})\text{L}_2]^+$

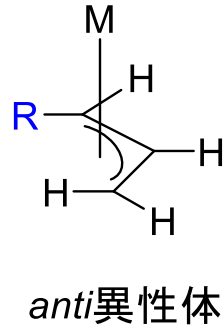
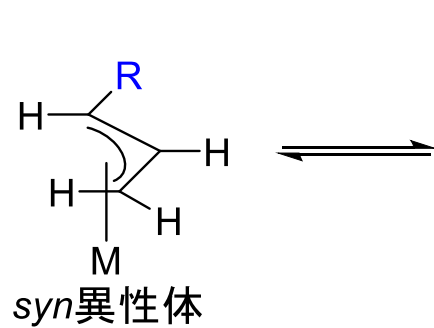
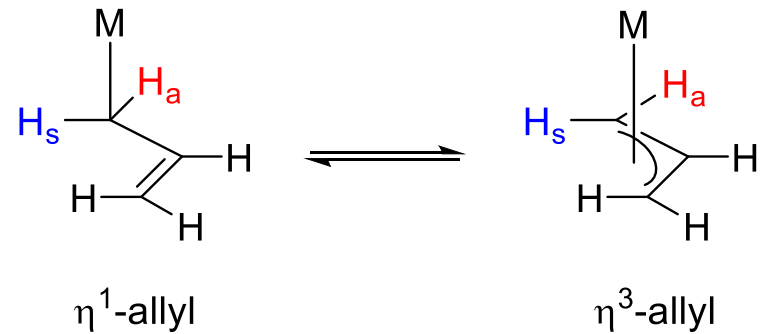
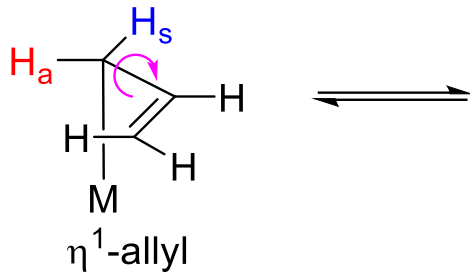
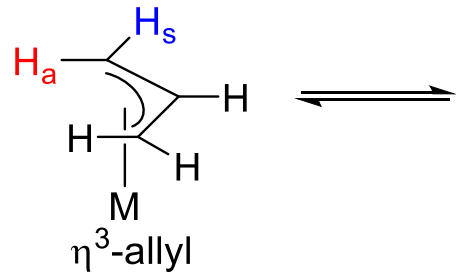
allyl ligand



$\eta^1$ -allyl 錯体

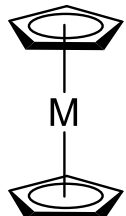


## シン水素 $H_s$ とアンチ水素 $H_a$ の交換



# シクロペンタジエニル

metallocene



eclipsed  
重なり型

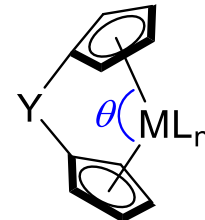


bent metallocene



staggered  
ねじれ型

ansa-metallocene



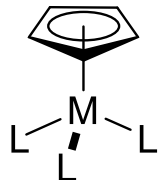
$\text{Y}$	$\theta$
-	129.2
$(\text{CH}_2)_3$	129.6
$\text{CH}_2$	116.4
$\text{SiMe}_2$	125.4

重なり形の方がわずかに安定  
メタロセンの回転障壁は低い

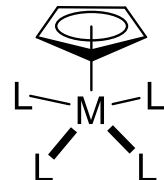
$\text{Cp}_2\text{Fe}$  18電子 (反磁性, diamagnetic)  
 $[\text{Cp}_2\text{Fe}]^+$  17電子 酸化剤, 常磁性,  
paramagnetic)

$\text{Cp}_2\text{Co}$  19電子 (還元剤, 常磁性)  
 $[\text{Cp}_2\text{Co}]^+$  18電子

half-metallocene (half-sandwich)

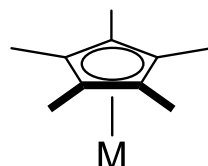


three-legged  
piano stool

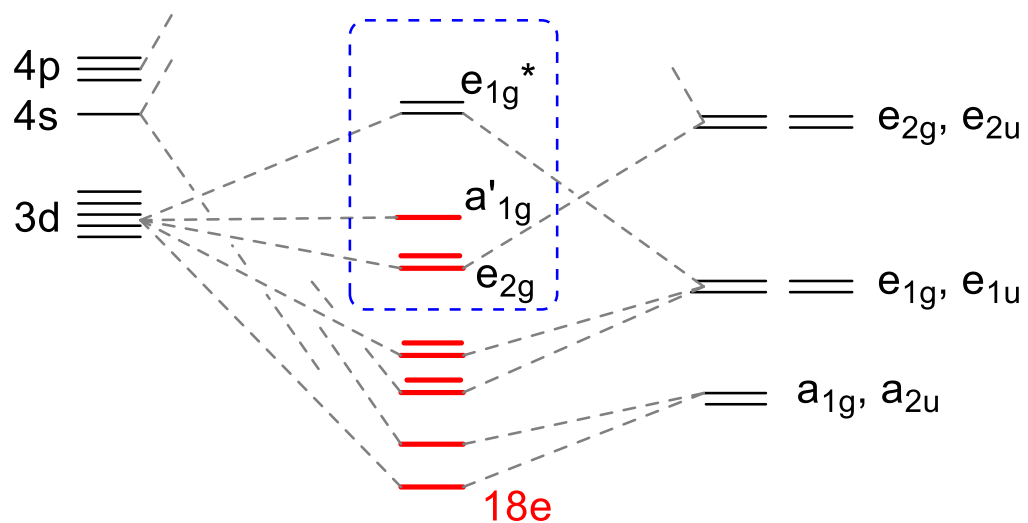
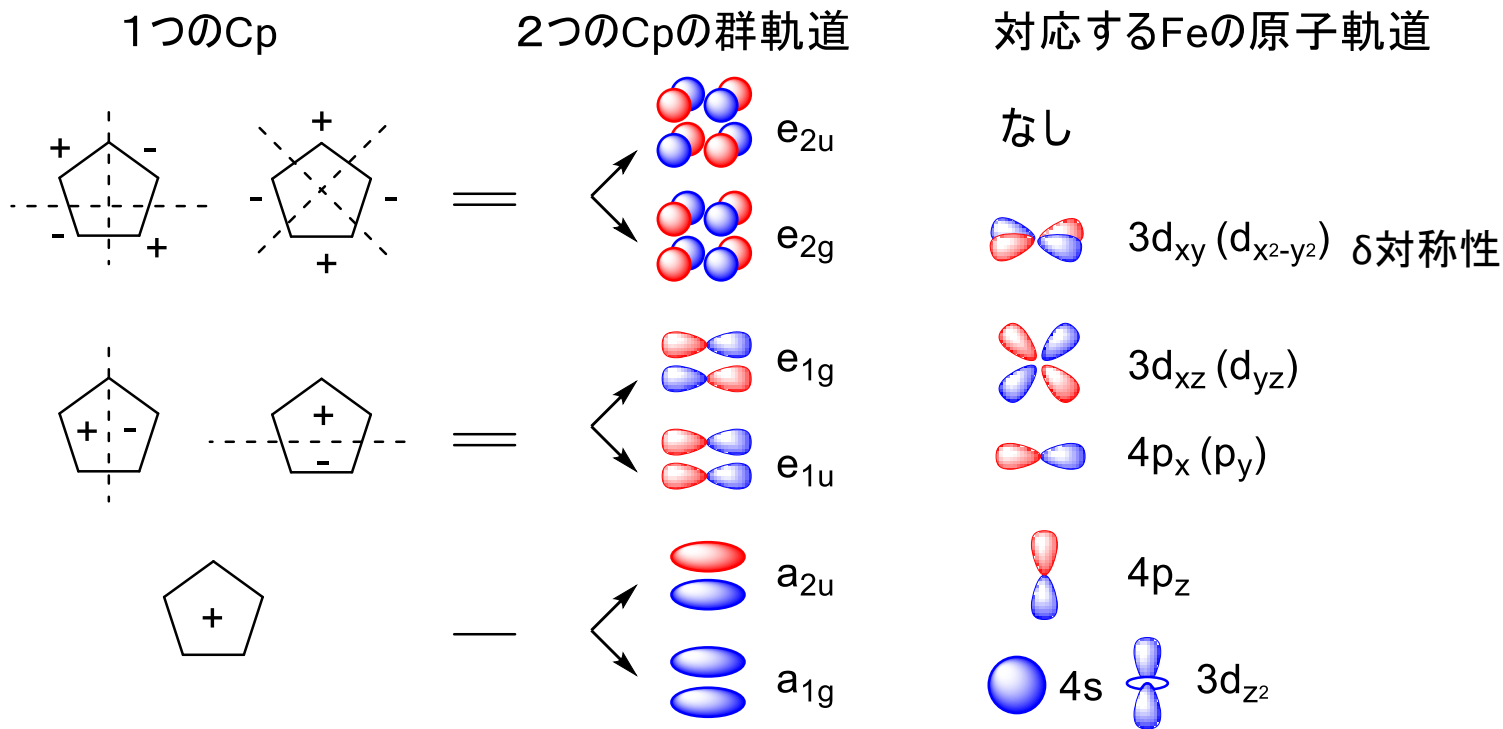


four-legged  
piano stool

$\text{Cp}^*$  ( $\eta^5\text{-C}_5\text{Me}_5$ )



# メタロセン



# 折れ曲がったメタロセン

前周期遷移金属(4~7族)

